(19) **日本国特許庁(JP)**

(12) 公開特許公報(A)

(11)特許出願公開番号

特開2005-123209 (P2005-123209A)

(43) 公開日 平成17年5月12日 (2005.5.12)

(51) Int.C1. ⁷	FI				テー	マコート	ド(参え	琴)
HO1B 3/00	но 1 В	3/00	A		4 F	071		
CO8J 5/00	C081	5/00	CES		5 G	303		
HO1B 3/12	но 1 В	3/12	303					
// CO8L 23:12	HO1B	3/12	304					
	HO1B	3/12	326					
	審査請	求有請	求項の数 1	OL	(全 10) 頁)	最終」	頁に続く
(21) 出願番号	特願2004-363396 (P2004-363396)	(71)出願。	人 0000062	31				
(22) 出願日	平成16年12月15日 (2004.12.15)		株式会社	L村田製	作所			
(62) 分割の表示	特願2001-112816 (P2001-112816)		京都府县	阿京市	東神足	1丁目	10番	1号
	の分割	(72)発明:	者 櫻田 清	赤				
原出願日	平成13年4月11日 (2001.4.11)		京都府县	同京市	東神足	1丁目	10番	1号
(31) 優先権主張番号	特願2000-318362 (P2000-318362)		株式会社	L村田製	作所内			
(32) 優先日	平成12年10月18日 (2000.10.18)	F ターム	(参考) 4F07	1 AA20	AB18	AB28	AE22	AF40
(33) 優先権主張国	日本国(JP)			AH07	AH19	BA01	BB05	BC07
				BC08				
			5G30	3 AA04	AB20	BA11	CA01	CB01
				CB03	CB06	CB17	CB30	CB32
				CB35				

(54) 【発明の名称】複合誘電体成形物

(57)【要約】

【課題】

アンテナ利得やサイドローブ等の特性に優れ、かつ個体内および個体間の特性ばらつきが小さい複合誘電体成形物を提供する。

【解決手段】

誘電体無機フィラーとポリプロピレンとを含む複合誘電体材料を成形して複合誘電体成形物を作製し、その誘電率異方性を1.00~1.05の範囲にする。

【選択図】 なし

【特許請求の範囲】

【請求項1】

誘 電 体 無 機 フ ィ ラ ー と ポ リ プ ロ ピ レ ン と を 含 む 複 合 誘 電 体 材 料 を 成 形 し て な る 複 合 誘 電 体成形物であって、

前記複合誘電体成形物は、その誘電率異方性が1.00~1.05の範囲にあることを 特徴とする複合誘電体成形物。

(ただし、誘電率異方性とは、誘電率が最大となる方向での誘電率 A と、誘電率が最低 となる方向での誘電率Bとの比(A/B)を示す。)

【発明の詳細な説明】

【技術分野】

[0001]

本発明は、複合誘電体成形物、特に高周波部品に用いられる複合誘電体成形物に関する

【背景技術】

[00002]

近年、次世代の高度道路交通システム(ITS:Intelligent Transport Systems)の 開 発 が 盛 ん に な っ て き て お り 、 ク ル ー ジ ン グ 時 の 安 全 運 転 を 支 援 す る た め の 機 能 が 次 々 と 開発されている。特に、自動車の目の役割を果たす外部環境検知システムはITSの中で も重要視され、赤外線やCCD等を用いた検知システムが開発されている。

[0003]

しかしながら、これらの検知システムの場合、雨中では使用できなかったり、コストが 高くなったりといった問題点がある。

[0004]

そこで、ミリ波(76GHz)を利用したレーダーを外部環境検知手段として使用する ことが考えられている。このミリ波アンテナとしては、出射面が平面形状の平面アンテナ や、出射面が凸状に湾曲したレンズアンテナ等があるが、中でもレンズアンテナは、アン テナ効率や検知角度の面において優れている。

[0005]

このようなレンズアンテナとしては、その出射面が凸状となったレンズ本体と、その後 方に設けられた1次送波器とからなるものが一般的である。特に、車載用のレンズアンテ ナのようにレンズ本体の厚みを薄くする必要のあるものには、そのレンズ本体の材質とし て、厚みが薄くても高誘電率であり、かつ生産性に優れた、誘電体無機フィラーと樹脂と からなる複合誘電体材料が用いられている。

[0006]

レンズ本体の成形については、成形にかかるコスト、成形の精度等から射出成形による ことが一般的である。

【発明の開示】

【発明が解決しようとする課題】

[00007]

しかしながら、従来の複合誘電体材料を成形して得られるレンズ本体(複合誘電体成形 物)では、アンテナ利得やサイドローブが設計通りの値を達成できなかったり、特性にば らつきが見られたりして、歩溜りがよいとはいえなかった。

[00008]

本 発 明 の 目 的 は 、 ア ン テ ナ 利 得 や サ イ ド ロ ー ブ 等 の 特 性 に 優 れ 、 か つ 個 体 内 お よ び 個 体 間の特性ばらつきが小さい複合誘電体成形物を提供することにある。

【課題を解決するための手段】

[0009]

本 発 明 に 係 る 複 合 誘 電 体 成 形 物 は 、 誘 電 体 無 機 フィ ラ ー と ポ リ プ ロ ピ レン と を 含 む 複 合 誘 電 体 材 料 を 成 形 し て な る 複 合 誘 電 体 成 形 物 で あ っ て 、 前 記 複 合 誘 電 体 成 形 物 は 、 そ の 誘 電 率 異 方 性 が 1 . 0 0 ~ 1 . 0 5 の 範 囲 に あ る こ と を 特 徴 と す る 。 (た だ し 、 誘 電 率 異 方 10

20

30

40

性とは、誘電率が最大となる方向での誘電率Aと、誘電率が最低となる方向での誘電率Bとの比(A/B)を示す。)

本発明者は、使用する複合誘電体材料や成形条件によって、複合誘電体成形物の誘電率が電界方向によって変動することに着目し、この複合誘電体成形物の誘電率の変動が大きいものが、誘電率所望の特性が得られない電界方向があったり、複合誘電体成形物内で特性のばらつきが生じていることを見出した。

[0 0 1 0]

したがって、電界方向によって誘電率の変動を小さくする、つまり誘電率異方性を1. 00~1.05に調整すれば、上記のような問題を解決することができるという本発明を 成すに至ったものである。

【発明の効果】

[0 0 1 1]

本発明によれば、電気的特性に優れ、かつ特性ばらつきの小さい複合誘電体成形物を得ることができる。

【発明を実施するための最良の形態】

[0012]

本発明の複合誘電体成形物は、誘電体無機フィラーと有機高分子材料とを含む複合誘電体材料を成形し、その成形物を構成する任意の一部の誘電率異方性を1.00~1.05 の範囲となるようにしたものである。

[0013]

ここで、誘電率異方性とは、誘電率が最大となる方向での誘電率 A と、誘電率が最低となる方向での誘電率 B との比(A / B)のことであり、その測定方法としては、上記複合誘電体成形物の任意の一部を 1 0 点以上取ってテストピースとし、このテストピースを回転させながら誘電率を測定する方法を用いる。

[0014]

また、誘電体無機フィラーは、実質的に複合誘電体成形物の誘電率を決定するものであり、誘電体無機フィラーの種類及び添加量を調整することによって、複合誘電体成形物の誘電率を調整することができる。

[0015]

誘電体無機フィラーとしては、IIa, IVa, IIIb, IVb族の酸化物、炭酸塩、リン酸塩、珪酸塩、またはIIa, IVa, IIIb, IVb族を含む複合酸化物から選ばれる少なくとも1種であることが好ましく、具体的には、TiO₂, СаTiО₃, МgTiО₃, А 1₂О₃, ВаTiО₃, Sr TiО₃, СаСО₃, Са₂Р₂Оγ, SіО₂, Мg₂SіО₄, Са₂МgSі₂Оγ, Ва(Мg₁/₃Та₂/₃)О3等が挙げられる。

[0016]

なお、誘電体無機フィラーが複合誘電体材料に対して添加含有される割合は、好ましくは1.0~55.0 vol%であり、さらに好ましくは10.0~55.0 vol%である。誘電体無機フィラーの添加割合が55.0 vol%以下であれば複合誘電体材料を射出成形加工しやすく、1.0 vol%以上であれば実用的な誘電率を確保できるためである。

[0 0 1 7]

また、有機高分子材料は、射出成形が可能であるということから、熱可塑性樹脂を用いることが好ましく、具体的には、ポリエチレン、ポリプロピレン、ポリスチレン、シンジオタクチックポリスチレン、液晶ポリマー、ポリフェニレンサルファイド、ABS樹脂、ポリエステル樹脂、ポリアセタール、ポリアミド、メチルペンテンポリマー、ノルボルネン樹脂、ポリカーボネイト、ポリフェニレンエーテル、ポリサルフォン、ポリイミド、ポリエーテルイミド、ポリアミドイミド、ポリエーテルケトン等が挙げられるが、ポリエチレン、ポリプロピレン、ポリスチレン、シンジオタクチックポリスチレン、液晶ポリマー、ポリフェニレンサルファイドが高周波におけるQ値が高く特に好ましい。

[0018]

50

10

20

30

また、有機高分子材料を、樹脂フィラーが添加された熱可塑性樹脂で構成する場合は、マトリックスとなる熱可塑性樹脂には上に列挙した熱可塑性樹脂を用いることができる。

[0019]

また、樹脂フィラーには上に列挙した熱可塑性樹脂の他に、エポキシ樹脂、メラミン樹脂、ウレタン樹脂、シリコン樹脂等の熱硬化性樹脂を用いることができる。ただし、樹脂フィラーに熱可塑性樹脂を用いる場合は、マトリックスとなる熱可塑性樹脂として選択した熱可塑性樹脂の成形温度では溶融しない熱可塑性樹脂を選択する。

[0020]

なお、樹脂フィラーが複合誘電体材料に対して添加含有される割合は、好ましくは1.0~45.0~01%であり、さらに好ましくは10.0~45.0~01%である。樹脂フィラーの添加量が多すぎると複合誘電体材料を射出成形加工するのが困難になり、少なすぎると誘電体無機フィラーの配向を抑制しにくくなるためである。

[0021]

また、複合誘電体材料は、射出成形によって成形しても誘電率異方性を小さくすることができるということから、溶融時の粘度が、剪断速度1000s⁻¹において170Pa・s以上であることが好ましく、さらに好ましくは200Pa・s以上である。なお、粘度の上限については、成形機の性能によるため特に限定はしないが、現在の成形機の性能からみて800Pa・s以下であることが好ましい。

[0022]

図1は、本発明に係る複合誘電体成形物を用いたレンズアンテナを示す概略説明図である。図1に示すように、レンズアンテナ1は、レンズ部2と、導波管(1次送波器)3と、レンズ部2および導波管3とに係合する支持板4と、からなる。

[0023]

レンズ部 2 はレンズ本体 2 a と整合層 2 b とからなり、このうちレンズ本体 2 a は、本発明に係る複合誘電体成形物からなり、出射面 2 a $_1$ が凸状、入射面 2 a $_2$ が平板状、出射面 2 a $_1$ の垂直断面が円弧状となるように、射出成形によって成形されている。

[0024]

また、整合層2bは、レンズ本体2aと大気との整合をとるためのものであって、レンズ本体2aと同様に本発明に係る複合誘電体成形物からなり、レンズ本体2aの外縁を覆うような形状となるように成形され、レンズ本体2aと接着されている。

[0025]

なお、整合層 2 b の比誘電率はレンズ本体 2 a の比誘電率の平方根あるいはそれに近い値を有していることが好ましい。また、整合層 2 b の厚みは所望のマイクロ波の波長の約1 / 4 であることが好ましい。

[0026]

導波管 3 は、アルミニウム製で直方体形状をなしている。また、導波管 3 の上面には送波用開口部 3 a が形成され、側面には挿入用開口部 3 b が形成されており、これらの開口部 3 a , 3 b は内部で連通している。

[0027]

支持板 4 は、導波管 3 a の外周部から、レンズ部 2 の縁部の全周にわたってテーパ状に広がった筒状に構成されており、導波管 3 a とレンズ部 2 との位置関係を固定するために設けられる。また、支持板 4 の内側には、電磁波を反射するように金属メッキが施されていることが好ましい。

[0028]

誘電体線路5は、送波用開口部3aが形成された位置にその端部が来るように挿入用開口部3bから挿入されている。また、図示していないが、誘電体線路5には電極が形成されている。

[0029]

以下、本発明の複合誘電体成形物について、実施例に基づきさらに詳細に説明する。

【実施例1】

50

40

10

20

[0030]

図 2 は、本発明に係る複合誘電体成形物を示す概略斜視図であり、図 3 は、本発明に係る複合誘電体を示す水平断面図である。図 3 (a) は図 2 における A - A ′ 面の断面、図 3 (b) は図 2 における B - B ′ 面の断面、図 3 (c) は図 2 における C - C ′ 面を示す

[0031]

まず、誘電体無機フィラーとしてCaTiO₃粉末、有機高分子材料としてポリプロピレン粉末を用意し、表1に示す混合比となるように秤量した。次に、これらをヘンシェルミキサーで予備混合して混合粉末とした。

[0 0 3 2]

次に、シリンダー温度を 2 0 0 にした二軸の押出機を用いて、得られた混合粉末を溶融状態で混錬し、複合誘電体材料とした後、ヘッド穴を通して糸状に成形した。次に、この成形物を水中で冷却後、 2 × 5 m m 程度にカットしてペレットとした。

[0 0 3 3]

次に、得られたペレットを射出成形機に投入し、溶融後、直径73.2mm、最大厚み20mmの凸レンズ状に射出成形して複合誘電体成形物を得た。このとき、射出成形時において、それぞれの試料の溶融粘度を剪断速度1000s⁻¹で測定した。

[0034]

次に、得られた複合誘電体成形物の誘電率異方性、誘電率を測定した。ここで、誘電率はTE01 モードの12GHzの電界を用いた摂動法で測定した。なお、誘電率異方性は以下のようにして測定した。

[0035]

まず、図 2 に示すように、 A ・ A ′ 面、 B ・ B ′ 面、および C ・ C ′ 面で、複合誘電体成形物 1 0 を厚み方向に 4 等分した後、図 3 に示すように、それぞれの断面 1 0 a 、 1 0 b 、 1 0 c から合計 1 5 点のサンプル 1 1 を切り出した。

[0036]

次に、各サンプル11をTE10モードの電界を用いた摂動法において、電界の方向を30°ずつ回転させて誘電率の測定を行った。そして、各サンプルの最大誘電率と最小誘電率との比である誘電率異方性を算出し、最後に各サンプルの誘電率異方性の平均を算出して複合誘電体成形物の誘電率異方性とした。その結果を表1に示す。

[0037]

【表1】

試料番号	CaTiO ₃ 量 (vol%)	ポリプロピレン量 (vol%)	射出成形 時の溶融 (Pa·s)	誘電率 異方性	誘電率 εr	誘電率バラツキ 3σ
	11.2	88.8	122	1.07	3.9	0.38
2	19.5	80.5	160	1.06	5.8	0.33
3	26.6	73.4	180	1.05	7.8	0.3
4	29.1	70.9	200	1.02	8.8	0.1
5	35.6	64.4	260	1.01	12.5	0.07
6	40	60	285	1.006	14.9	0.05

[0038]

表 1 からわかるように、試料 3 ~ 6 は、誘電率異方性が 1 . 0 0 ~ 1 . 0 5 の範囲にあり、誘電率のばらつきが小さい。一方、試料 1 , 2 は、誘電率異方性が 1 . 0 5 より大きいため、誘電率のばらつきが大きい。

[0039]

また、試料1,2は、射出成形時の溶融粘度が、剪断速度1000g⁻¹において170 Pa・sより小さいため、誘電体無機フィラーが一定方向に揃いやすくなり、誘電率異方 性が1.05を超えてしまった。

【実施例2】

50

10

20

30

[0040]

まず、表 2 に示すように、誘電体無機フィラーおよび有機高分子材料を混合して、混合粉末を得た。なお、これらの混合粉末は、複合誘電体成形物としたとき、誘電率 r が約4.0 となる。このように各試料の誘電率を一定としたのは、利得およびサイドロープを各試料間で単純比較するためである。

[0041]

次に、得られた混合粉末から実施例 1 と同様にして複合誘電体成形物を得た。そして、複合誘電体材料の溶融粘度、複合誘電体成形物の誘電率異方性、および誘電率ばらつきを 実施例 1 と同様にして測定した。その結果を表 2 に示す。

[0042]

【表2】

	装雷体制	無機フィラー	有機高	有機高分子材料	射出成形	誘電率	誘電率十十十二十二十二十二十二十二十二十二十二十二十二十二十二十二十二十二十二十二	利得	#4k'n-7'
江本番 5		※加量(vol%)	種類	添加量(vol%)	再の治療 (Pa·s)	A 774 30	業づけ	(dbi)	(qp)
Ξ	CaTiO ₃	11.2	ď	83.8	135	0.34	1.055	31.0	-11
	Al ₂ O ₃	S					10,	1	O
12	SrTiO ₃	10	РР	06	119	0.4	1.07	30.5	۵
13	CaTiO ₃	10	PS	90	130	0.38	1.06	30.0	6-
14	CaTiO	4 25	ЬР	7.1	200	0.15	1.03	31.5	-19
15	MgTiO ₃	23	Ь	77	180	0.09	1.02	32.0	-20
16	<u> </u>	4 25	8	7.1	200	0.15	1.03	31.5	-19
17	Caco	36	dd	64	260	0.09	1.02	32.0	-20
181	Al,O ₃	34	ద	99	250	0.07	1.01	32.5	-22
19		45	dd.	55	550	90'0	1.002	32.5	-22
20	1	49	ЬР	51	200	0.05	1.002	31.0	-22
21	<u> </u>	10	dd	75	170	0.2	1.04	31.5	-15
22		20	Sdd	80	180	0.07	1.01	32.0	-22
23	23 1-52774N	. 26	PPS	74	300	0.15	1.03	31.2	-19
24	Al ₂ O ₃	20	Sdd	80	170	0.07	1.01	32.0	-21
25		18	PS	82	180	0.1	1.02	32.0	-20
26	SnTiO₄	18	PS	82	180	0.09	1.02	32.0	-20
27	CaCO ₃	33	SPS	67	300	0.09	1.02	31.5	-20
>P:木"Jフ"ロピレン >S:木"Jスチレン	유 강 3								

20

10

30

は、PP:200°C、PPS:300°C、PS:200°C、SPS:280°Cで行った。

40

20

[0043]

表 2 からわかるように、試料 1 4 ~ 2 7 は、誘電率異方性が 1 . 0 0 ~ 1 . 0 5 の範囲にあるため、誘電率ばらつきが小さく、利得およびサイドローブの双方において良好な値が得られている。

[0044]

一方、試料11~13は、誘電率ばらつきが2倍以上に大きくなり、利得およびサイドローブの双方において良好な値が得られていない。

【実施例3】

[0045]

まず、誘電体無機フィラーとして $CaTiO_3$ 粉末、および Al_2O_3 粉末、マトリックスとなる熱可塑性樹脂としてポリプロピレン粉末、樹脂フィラーとしてシンジオタクチックポリスチレン粉末を用意し、表 3 に示す混合比になるように秤量した。次に、これらをヘンシェルミキサーで予備混合して混合粉末とした。

[0046]

次に、得られた混合粉末から実施例1と同様にして複合誘電体成形物を得た。次に、得られた複合誘電体成形物の誘電率異方性、誘電率を実施例1と同じ測定方法によって測定した。その結果を表3に示す。

[0047]

なお、試料28~30は、試料1と同じ量の誘電体無機フィラーが添加され、かつ、熱可塑性樹脂に樹脂フィラーが添加されているものである。また、試料31~33は、試料3と同じ量の誘電体無機フィラーが添加され、かつ、熱可塑性樹脂に樹脂フィラーが添加されているものである。また、試料34~36は、試料11と同じ量の誘電体無機フィラーが添加され、かつ、熱可塑性樹脂に樹脂フィラーが添加されているものである。また、試料37~39は、試料16と同じ量の誘電体無機フィラーが添加され、かつ、熱可塑性樹脂に樹脂フィラーが添加されているものである。

[0048]

【表3】

								1 1 1 1 1 1 1 1 1 1 1 1 1 1 1 1 1 1 1
計划器号	誘電体	誘電体無機フィラー	アン	熱可塑性 マトリックス樹脂	極	樹脂フィラー	紫龍舟	誘電楽 ハラッキ
	種類	添加量(vol%)	種類	添加量 (vol%)	種類	添加量 (vol%)	業の注	30
	CaTiO ₃	11.2	ЬP	88.8	-	0	1.07	0.38
+	CaTiO ₃	11.2	8	83.8	1	C	1.055	0.34
_	Al ₂ O ₃	5		9		•		
28	CaTiO ₃	11.2	дд	43.8	SPS	45	1.008	0.07
29	CaTiO ₃	11.2	dd	64.8	SPS	24	1.025	0.1
99	CaTiO ₃	11.2	ď	78.8	SPS	10	1.05	0.3
31	CaTiO ₃	26.6	윤	43.4	SPS	30	1.04	0.2
32	CaTiO ₃	26.6	8	53.4	SPS	20	1.02	0.1
33	ــــــــــــــــــــــــــــــــــــــ	26.6	윤	63.4	SPS	10	1.01	0.07
34	<u> </u>	11.2	ЬР	38.8	SPS	45	1.005	90.0
	2223	3						
35	CaTiO ₃ Al ₂ O ₃	11.2	ЪР	59.8	SPS	24	1.02	0.09
36		11.2	ЬР	73.8	SPS	10	1.04	0.2
37		4 25	ЬР	41	SPS	30	1.025	0.13
38		4 25	ЬР	51	SPS	20	1.02	0.1
39		4 25	dd	61	SPS	10	1.008	90.0
PP: 木リプロ・レン	吊び							

SPS:シンジオタクチックホッリスチレン

[0049]

表3に示すように、マトリックスとなる熱可塑性樹脂に樹脂フィラーを添加したものは 、誘電率異方性が1.00~1.05の範囲にあり、誘電率のばらつきが小さいことがわ かる。

【図面の簡単な説明】

[0050]

【図1】本発明に関連するレンズアンテナの一例を示す概略断面図である。

【図2】本発明に係る複合誘電体成形物の一例を示す概略斜視図である。

【図3】本発明に係る複合誘電体成形物の一例を示す水平断面図である。

【符号の説明】

[0051]

1 レンズアンテナ

2 レンズ部

レンズ本体 2 a

2 b 整合層

3 導波管(1次送波器) 10

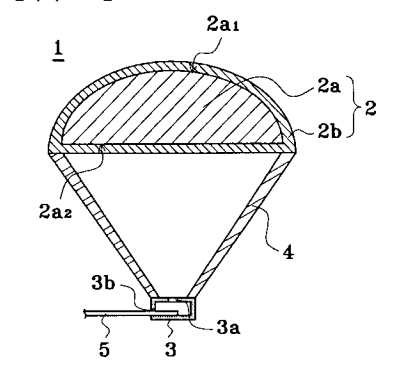
20

30

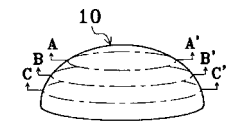
40

- 4 支持板
- 5 誘電体線路
- 1 0 複合誘電体成形物
- 11 サンプル

【図1】

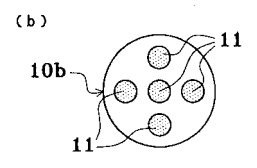


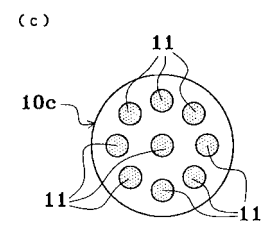
【図2】



【図3】







フロントページの続き

F I テーマコード (参考)
H 0 1 B 3/12 3 3 5
H 0 1 B 3/12 3 3 6
H 0 1 B 3/12 3 3 7
C 0 8 L 23:12